

## ADENOİDEKTOMİ OPERASYONUNUN DENTOFASİYAL YAPILAR ÜZERİNE ETKİSİ (6 YILLIK LONGİTÜDİNAL ÇALIŞMA)\*

Dr. Enis GÜRAY\*\*

Uz. Dt. Ali İhya KARAMAN\*\*\*

**ÖZET:** Araştırmamızın amacı, adenoidektomi operasyonunun iskeletsel ve dental yapılara olan etkisini longitudinal olarak incelemektir. Çalışmamız, nazal obstrüksiyon nedeniyle adenoidektomi endikasyonu konmuş 26 birey üzerinde gerçekleştirılmıştır. Bu bireylerin 13'ü birinci yıl içerisinde adenoidektomi operasyonu geçirmiştir, 13'ü ise bu ameliyatı çeşitli nedenlerle yaptıramamışlardır. Adenoidektomi operasyonu olan 13 birey tedavi grubunu, geriye kalan non-opere 13 birey ise kontrol grubunu oluşturmuştur. 6 yıl sonra tekrar çağrılan bireylerden lateral ve antero-posterior sefalogramlar ile alıcı modeller elde edilmiştir. Lateral sefalogramlar üzerinde başlangıçta olduğu gibi, nazal direnç ölçümleri planimetrik olarak hesaplanmıştır. Ayrıca lateral ve antero-posterior sefalogramlar üzerinde iskeletsel ve dental oluşumların ölçümleri yapılmıştır. Alıcı modellerde ise dental değişiklikler incelenmiştir. Elde edilen ölçümler istatistiksel olarak değerlendirilmiştir. Sonuç olarak, nazal obstrüksiyonlu bireylerde uygulanan adenoidektomi operasyonunun, iskeletsel yapıları üzerinde bir miktar etkili olduğu, buna karşın dental yapılara, özellikle alt ve üst keser eğilimlerine daha fazla etkili olduğu belirlenmiştir. Ayrıca, adenoidektomi operasyonu geçirmiş bireylerin, nazal dirençlerinin önemli oranda azalması, nazal hava pasajlarının açıldığını ve solunum alanlarının arttığını göstermektedir.

**Anahtar Kelimeler:** Nazal obstrüksiyon, adenoidler, adenoidektomi, planimetre, dentofasikal yapılar.

**SUMMARY:** "EFFECTS OF ADENOIDECKTOMY ON DENTOFACIAL STRUCTURES (A 6 YEAR LONGITUDINAL STUDY)." The aim of the present study is to investigate the long term effects of adenoidectomy on dental and skeletal structures. The material consisted of 26 patients, diagnosed with nasal obstruction. Adenoidectomy was indicated on all, but 13 were operated within the 1st year following diagnosis. Remaining 13 were not operated and used as the control group. Lateral and antero-posterior cephalometric films and study models were obtained following the diagnosis and after 6 years. Nasal obstruction were recorded planimetrically on lateral head cephalograms. The changes on the skeletal and dental structures were also recorded on lateral and antero-posterior cephalometric radiographs. Dental arch measurements were carried out on study models. The obtained measurements were evaluated statistically. Consequently, following the adenoidectomy operation the changes were mainly on dental structures and to certain extent on skeletal structures, in particular on upper and lower incisor inclinations. In the adenoidectomy group, the nasal resistance was decreased significantly and the respiratory areas were increased. Adenoidec-

my alone, may only change the breathing pattern, without having a significant effect on malocclusion and face type.

**Key Words:** Nasal obstruction, adenoids, adenoidectomy, planimeter, dentofacial structures.

### GİRİŞ

Solunum fonksiyonunun, maloklüzyonların etiyolojisindeki yer ortodonti biliminin ilgi alanı içerisindeidir.

Ricketts, Linder-Aronson ve Subtelny, nazal hava yolunun engellenmesiyle kraniofasiyal yapılarında ortaya çıkan görünümü "Respiratory Obstruction Syndrome, Uzun Yüz Sendromu (Long Face Syndrome) veya Vertikal Maksiller Fazlalık (Vertical Maxillary Excess)" olarak adlandırmaktadır (27, 16, 32). Bu yapının belirgin özellikleri; yüzün orta üğlüsünde düzleşmiş burunla birlikte dar burun delikleri, maksiller darlık, mandibulanın posterior rotasyonu ve buna bağlı olarak alt yüzde vertikal boyut fazlalığıdır.

Aynı araştırmacılar, nazal obstrüksiyonu ortadan kaldırmasını takiben, solunum şeklinin normale dönmeyeyle bu yapılarında bir miktar düzelmeye saptamışlardır (16, 27, 32).

Buna karşı, solunum şeklinin kraniofasiyal yapılar üzerinde etkisinin olmadığını ve gelişim boyunca etkilenmediklerini ileri süren birçok araştırmacı da vardır (6, 7, 12, 13, 36, 39). Bu araştırmacılar hereditenin belirleyici bir faktör olduğunu, bunun değiştirilemeyeceğini ileri sürmektedirler.

Adenoid hipertrofisinin nazal obstrüksiyonun oluşmasında önemli bir yeri tuttuğu bilinmektedir. Bunun, belirli bir dentisyon ve fasiyal tip ile ilişkisinin olup olmadığı, adenoidektomiyi takip eden çalışmalarla en iyi şekilde belirlenmektedir (4, 15, 17, 18, 21).

Araştırmamızın amacı, 6 yıl önce adenoidektomi operasyonu geçirmiş bireyleri longitudinal olarak inceleyerek; dental ve iskeletsel yapıların, değişen bu konuma ne şekilde uyum gösterdiğini saptamaktır.

### GEREÇ VE YÖNTEM

Çalışmamız, 1985 yılında Hacettepe Üniversitesi Dişhekimliği Fakültesi Ortodonti Anabilim dalına başvurmuş 26 birey üzerinde gerçekleştirılmıştır. Bu bireylerin tümü aynı üniversitenin Kulak-Burun ve Boğaz kliniğince adenoïd hipertrofisi tanısıyla adenoidektomi endikasyonu konmuş hastalarıdır.

\* Avrupa Ortodonti Cemiyeti, 70. Kongresinde Poster olarak sunulmuştur. 8-11 Haziran 1994, Graz-Avusturya.

\*\* S.Ü. Dişhek. Fak. Ortodonti A.D. Öğ. Gör.

\*\*\* S.Ü. Dişhek. Fak. Ortodonti A.D. Arş. Gör.

26 bireyin 13'ü ilk 1 yıl içerisinde adenoidektomi operasyonu geçirmiş, kalan 13'ü ise bu ameliyatı çeşitli nedenlerle yapamamışlardır. 6 yıl sonra tekrar çağrılan bireylerden lateral ve antero-posterior sefalogramlar ile alçı modeller elde edilmiştir. Lateral sefalogramlar üzerinde, başlangıçta olduğu gibi, nazal direnç ölçümleri planimetric olarak hesaplanmıştır. Ayrıca lateral ve antero-posterior sefalogramlar üzerinde iskeletsel ve dental olu-

şumların ölçümleri yapılmıştır. Alçı modellerde ise dento-değişiklikler incelenmiştir.

Araştırmamızda adenoidektomi operasyonu olan 13 birey tedavi grubu olarak seçilmiştir. Geri kalan adenoid vejetasyonuna sahip non-operatör 13 birey ise kontrol grubunu oluşturmuştur (Tablo 1). Tedavi ve kontrol grubunu oluşturan bireylerin hiçbir ortodontik tedavi geçirmemişlerdir.

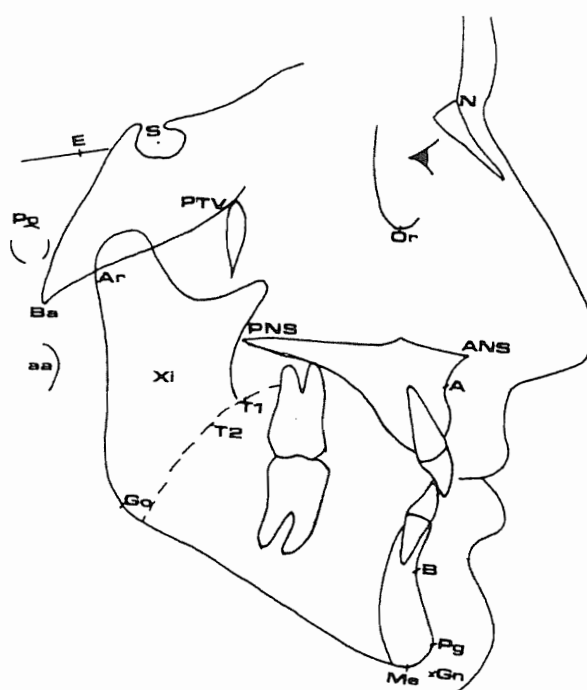
Tablo 1- Tedavi ve Kontrol Gruplarının Cinsiyetlere ve Yaşı Ortalamalarına Göre Dağılımı.

MİREYSA YİSİ	KİŞ	EKRER	OPERASYONDARI YAŞ ORTALAMASI	ORTALAMA YAŞ
TEDAVİ GRUPU	4	3	9,1	14,1
KONTROL GRUPU	8	5	-	15,4

Elde edilen materyaller üzerinde doğrusal, açısal ve planimetric ölçümeler yapılmış, sonuçlar istatistiksel olarak değerlendirilmiştir.

#### I. Araştırmamızda Kullanılan Sefalométrik Noktalar (26):

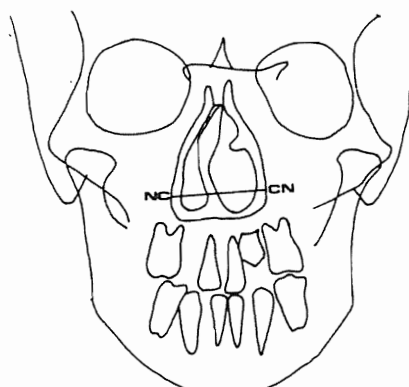
##### A. Lateral Sefalogramlarda (Şekil 1):



Şekil 1- Lateral Sefalogramlarda Kullandığımız Sefalométrik Noktalar.

1. "S" (Sella), 2. "N" (Nasion), 3. "Ba (Basion), 4. "Pt" (Pterygoid noktası), 5. "ANS" (Spina Nazalis Anterior), 6. "PNS" (Spina Nazalis Posterior), 7. "Or" (Orbitale), 8. "Po" (Porion), 9. "A" noktası (Subspinale), 10. "B" noktası (Supramentale), 11. "Xi" noktası (Mandibuler ramusun geometrik merkezi), 12. "Go" (Gonion), 13. "Me" (Menton), 14. "Pg" (Pogonion), 15. "Gn" (Gnathion, Zahiri), 16. "Ar" (Artiküler), 17. "aa" (Anterior Atlas), 18. "E" noktası: (Artiküler noktadan Sella-Nasion Düzlemine çıkan dikin bu düzlemi kestiği noktası), 19. "T1" noktası (PNS'den Sella-Nasion düzlemine çıkan dikin dil konturunu kestiği noktası), 20. "T2" noktası (Xi noktasından Pterygoid vertikal-PtL düzlemine indirilen dikin dil konturunu kestiği noktası).

##### B. Antero-Posterior Sefalogramlarda (Şekil 2):

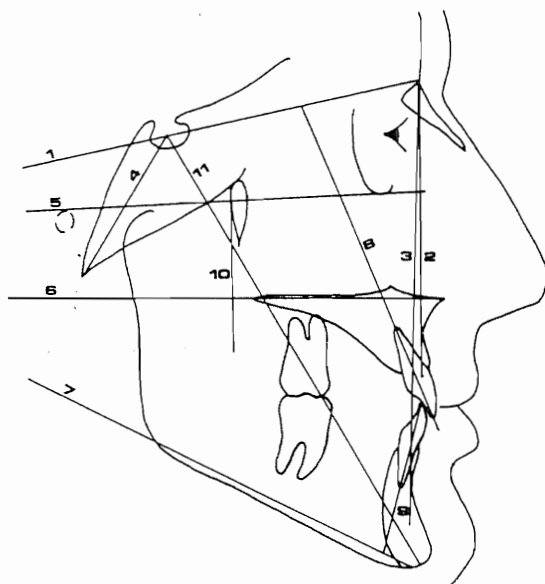


Şekil 2- Antero-Posterior Sefalogramlarda Kullandığımız Sefalométrik Noktalar ve Boyutsal Ölçüm.

1. "CN" noktası (Nazal kavitenin en geniş bölgesinde en dışta yer alan noktalardır, NC sağ, CN sol).

#### **II. Araştırmamızda Kullanılan Sefalometrik Düzlemler (Şekil 3):**

1. Kafa Kaidesi Düzlemi (SN), 2. Nasion-A Doğrusu (NA), 3. Nasion-B Doğrusu (NB), 4. Basion-Sella Düzlemi (BaS), 5. Frankfurt Horizontal Düzlemi (FH), 6. Palatal-nal Düzlem (PaL), 7. Mandibuler Düzlem (ML), 8. Üst Keser Eksen (U1L), 9. Alt Keser Eksen (L1L), 10. Pterygoid Vertikal Düzlem (PtV, pterygopalatin fossanın distalinden Frankfurt horizontal düzlemine indirilen dikme), 11. "Y" Eksen.



Şekil 3- Lateral Sefalogramlarda Kullandığımız Düzlemler.

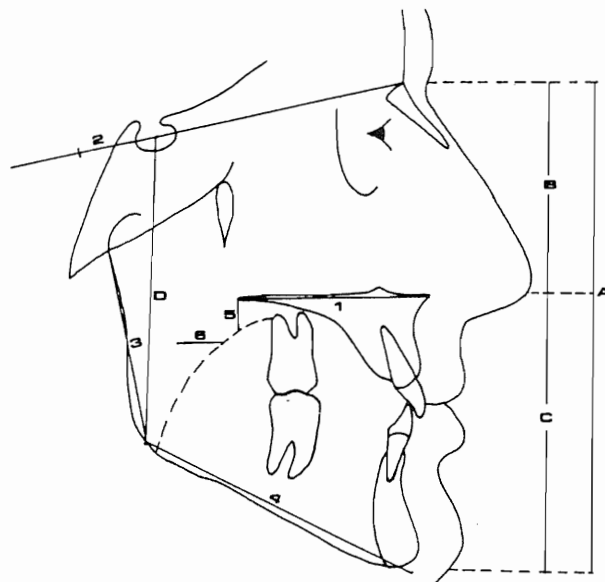
#### **III. Araştırmamızda Kullanılan Boyutsal Ölçümler:**

##### **A. Lateral Sefalogramlarda (Şekil 4):**

1. ANS-PNS (maksillanın uzunluğu), 2. S-E (Sellanın E noktasına olan uzaklığı), 3. Ar-Go (Ramus yüksekliğinin ölçümü), 4. Go-Gn (Mandibüler korpus boyutunun ölçümü), 5. T1 (Posterior Nazal Spina'nın dil konturuna olan uzaklığı), 6. T2 (Xi noktasının dil konturuna olan uzaklığı) (37), 7. S-Go/N-Gn (Arka yüz yüksekliğinin total yüz yüksekliğine oranı D/A), 8. N-ANS/N-Gn (Üst yüz yüksekliğinin, total yüz yüksekliğine oranı B/A), 9. ANS-Gn/N-Gn (Alt yüz yüksekliğinin, total yüz yüksekliğine oranı C/A).

##### **B. Antero-Posterior Sefalogramlarda (Şekil 2):**

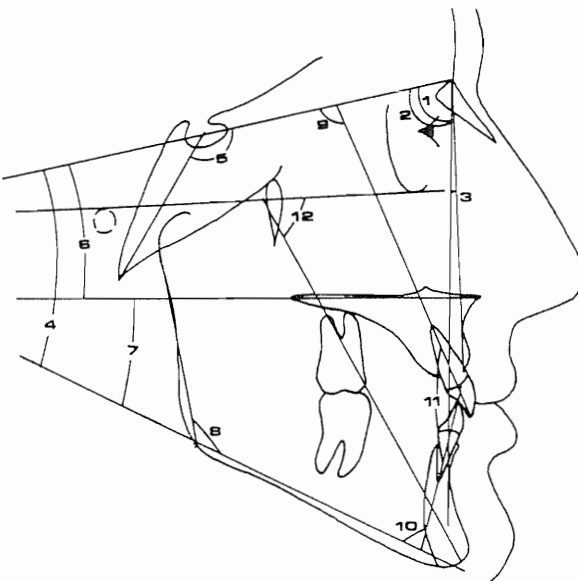
1. CN-NC (Nazal kavitenin en geniş bölgesinde en dışta yer alan noktaları birleştiren ölçümür, NC sağ, CN sol).



Şekil 4- Lateral Sefalogramlarda Kullandığımız Boyutsal Ölçümler.

#### **IV. Araştırmamızda Kullanılan Açısal Ölçümler (Şekil 5):**

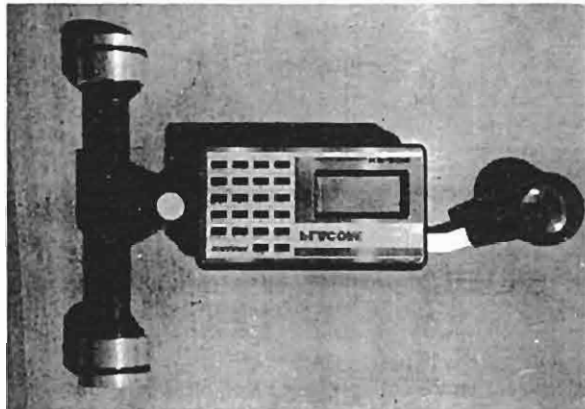
1. SNA, 2. SNB, 3. ANB, 4. SN-ML, 5. Ba-SN (kranial kaide eğim açısı), 6. SN-PaL, 7. PaL-ML, 8. Gonial Açı, 9. U1L-SN, 10. IMPA, 11. U1L-L1L, 12. Y Açıları.



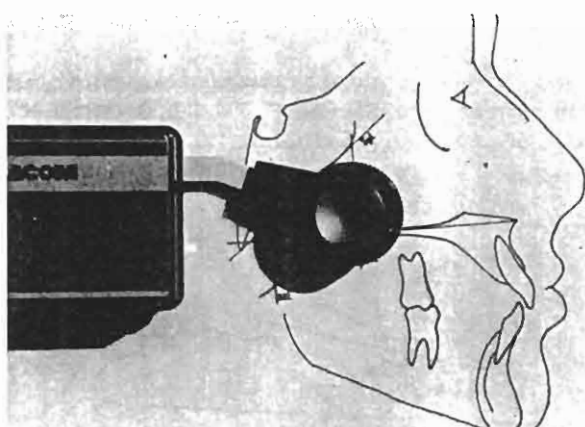
Şekil 5- Lateral Sefalogramlarda Kullandığımız Açısal Ölçümler.

#### V. Planimetrik Ölçümler:

Lateral sefalogramlar üzerinde nazofarengial alan ve solunum alanı "Placom" tipi dijital planimetre ile mm<sup>2</sup> cinsinden ayrı ayrı hesaplanmış ve her birey için nazal direnç (solunum alanı/nazofarengial alan oranı) ölçülmiştir (16) (Resim 1, 2).



Resim 1- "Placom" Tipi Dijital Planimetre.

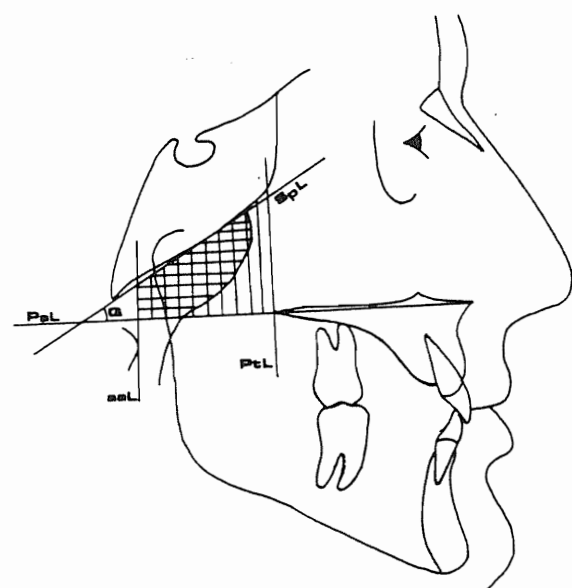


Resim 2- Planimetre ile Solunum Alanı ve Nazofarengial Alanın Ölçümü.

Nazofarengial bölge alta palatal düzlem, üstte sfenoid düzlem, önde pterygomaksiller düzlem ve arkada anterior axis düzlemleriyle sınırlanmıştır (10), (Şekil 6).

- Palatal Düzlem (PaL): ANS ve PNS noktalarından geçen düzlemdir.
- Sfenoid Düzlem (SpL): Sfenoidin büyük kanadına çizilen teğettir.
- Pterygomaksiller Düzlem (PtL): Palatal düzleme, PNS'den çıkan diken oluşturduğu düzlemdir.
- Anterior Axis Düzlemi (aaL): aa noktasından palatal düzleme çıkan diken oluşturduğu düzlemdir.

- Q açısı: Sfenoid düzlem ile Palatal düzlem arasındaki açıdır.



Şekil 6- Araştırmamızda Nazofarengial Alanı Belirlemek İçin Kullandığımız Düzlemler ve Nazofarengial Alan.

■ Adenoid Alanı

■ Solunum Alanı

#### Alçı Model Üzerinde Yapılan Ölçümler (16):

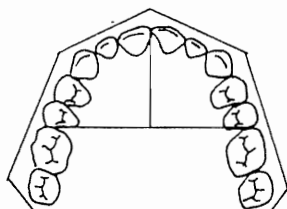
Dental ölçümler, alçı modeller üzerinde yapılmıştır. Bu ölçümlerde Korkhaus pergeli kullanılmıştır (Resim 3).



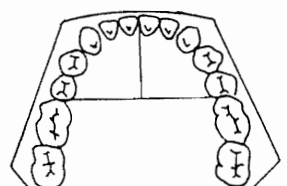
Resim 3- Korkhaus Pergeli.

Alçı modellerde şu ölçümler yapılmıştır (Şekil 7, 8, 9). 1. Maksiller Ark Genişliği (maksiller 1. molarların mezial kontakt noktaları arasındaki ölçümü), 2. Maksiller Ark Uzunluğu (maksiller keser dişlerin mezial kontaktlarından geçen ve bu dişlerin labial kenarlarından, maksiller ark genişliğine çıkan dikmenin boyutudur), 3. Palatal Yukseklik (damak kubbesinin direkt olarak Korkhaus pergeli ile ölçülebilen yüksekliğidir), 4. Mandibüler Ark

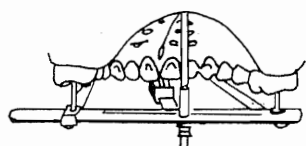
Genişliği (mandibüler 1. molarların mezial kontakt noktaları arasında kalan ölçümü), 5. Mandibüler Ark Uzunluğu (mandibüler kesici dişlerin mezial kontakt noktalarından geçen ve bu dişlerin labial kenarlarından mandibüler ark genişliğine indirilen dikmenin boyutudur).



Şekil 7- Maksiller Alçı Modellerde Yapılan Ölçümler.



Şekil 8- Mandibüler Alçı Modellerde Yapılan Ölçümler.



Şekil 9- Palatal Derinliğin Ölçümü.

### Istatistiksel Yöntem (38)

Araştırmamızda elde edilen veriler, Macintosh ortamında, State Work bilgisayar paket programı kullanılarak istatistiksel değerlendirmeye tabi tutulmuşlardır.

Adenoid operasyonundan sonra dentofasyal yapıların incelenmesi için yapılan ölçümlerden elde edilen değerlerin, standart sapmaları, maksimum ve minimumm değerleri, başlangıç, bitiş ve başlangıç-bitiş arasındaki farklıların ortalamaları, çalışma ve kontrol grubu için ayrı ayrı hesaplanmıştır

Tedavi ve kontrol gruplarının başlangıç ve bitiş sefalogramları üzerinde yapılan ölçümlerden elde edilen değerlerin istatistiksel önemi, "Eşleştirilmiş t testi" ile belirlenmiştir.

Bireylerin tedavi başlangıcı ve kontrol başlangıcı, tedavi sonu ve kontrol sonu değerleri istatistiksel olarak "Student-t testi" ile değerlendirilmiştir.

Ayrıca tedavi ve kontrol gruplarında başlangıç ve bitiş değer farklarının istatistiksel önemi yine aynı testin uygulanmasıyla saptanmıştır.

### BULGULAR

Çalışmamızda elde ettiğimiz bulgular; planimetrik, sefalométrik ve alçı model bulguları olmak üzere 3 ana grupta toplanmış ve istatistiksel değerleri Tablo 2-16'da sunulmuştur.

Tablo 2- Tedavi Grubundaki Nazal Direncin (Solunum alanı/Nazofarengyal alan) Önem Kontrolü.

	TEDAVİ BAŞLANGICI				TEDAVİ SONU				t	P	Test
	X	Sd	max	min	X	Sd	max	min			
S/N	0.418	0.178	0.679	0.178	0.682	0.389	0.950	0.500	8.285	0.000	***

P < 0.001\*\*\* P < 0.01\*\* P < 0.05\*

Tablo 3- Kontrol Grubundaki Nazal Direncin (Solunum alanı/Nazofarengyal alan) Önem Kontrolü.

	KONTROL BAŞLANGICI				KONTROL SONU				t	P	Test
	X	Sd	max	min	X	Sd	max	min			
S/N	0.468	0.170	0.897	0.228	0.560	0.312	0.782	0.442	3.237	0.007	**

P < 0.001\*\*\* P < 0.01\*\* P < 0.05\*

Tablo 4- Tedavi ve Kontrol Başlangıçlarındaki Nazal Dirençlerin (Solunum alanı/ Nazofarengéal alan) Önem Kontrolü.

	TEDAVİ BAŞLANGICI				KONTROL BAŞLANGICI				t	P	Test
	X	Sd	max	min	X	Sd	max	min			
S/N	0.416	0.171	0.673	0.173	0.469	0.158	0.897	0.228	0.767	0.544	

P &lt; 0.001\*\*\* P &lt; 0.01\*\* P &lt; 0.05\*

Tablo 5- Tedavi ve Kontrol Sonlarındaki Nazal Dirençlerin (Solunum alanı/ Nazofarengéal alan) Önem Kontrolü.

	TEDAVİ SONU				KONTROL SONU				t	P	Test
	X	Sd	max	min	X	Sd	max	min			
S/N	0.682	0.094	0.95	0.5	0.56	0.087	0.748	0.442	-3.81	0.000	*

P &lt; 0.001\*\*\* P &lt; 0.01\*\* P &lt; 0.05\*

Tablo 6- Tedavi ve Kontrol Grupları Başlangıç-Bitiş Nazal Dirençleri (Solunum alanı/ Nazofarengéal Alan) Arasındaki Farkların Önem Kontrolü.

	TEDAVİ BAS-SONU (FARK)				KONTROL BAS-SONU (FARK)				t	P	Test
	X	Sd	max	min	X	Sd	max	min			
S/N	0.266	0.146	0.468	0.034	0.090	0.097	0.260	-0.174	-3.452	0.002	**

P &lt; 0.001\*\*\* P &lt; 0.01\*\* P &lt; 0.05\*

Tablo 7- Tedavi Grubundaki Açısal ve Boyutsal Ölçümlerin Önem Kontrolü.

	TEDAVİ BAŞLANGICI				TEDAVİ SONU				t	P	Test
	X	Sd	max	min	X	Sd	max	min			
ACİSAL OLÇÜMLER	1 SNA	31.481	3.406	36.000	76.000	30.598	12.954	36.000	73.000	-0.971	0.3647
	2 SNB	76.578	3.678	83.500	69.000	78.307	11.801	82.000	71.000	1.846	0.070
	3 ANB	4.984	3.416	10.000	-2.500	3.830	10.188	8.000	-1.000	4.121	0.002
	4 SN-ML	26.207	5.818	47.000	25.000	33.030	14.659	40.000	35.000	-2.711	0.018
	5 BaSN	127.038	6.100	188.000	120.000	126.653	19.479	138.000	120.000	-0.749	0.526
	6 SN-Pal	8.928	3.377	14.000	4.000	8.323	12.203	14.000	3.000	0.000	1.000
	7 Pal-ML	28.068	5.366	37.000	18.000	25.076	16.805	32.000	15.000	-2.443	0.030
	8 Gonial Açı	129.790	6.213	145.000	119.000	124.646	18.689	135.000	118.000	-2.055	0.042
	9 U1L-1R	100.921	3.888	107.000	88.000	100.423	20.492	116.000	96.000	1.400	0.184
	10 L1L-ML	30.615	5.891	101.000	80.000	95.163	22.086	104.000	84.000	3.282	0.007
	11 U1L-L1L	107.884	3.728	156.000	123.000	103.423	27.327	138.000	115.000	-4.051	0.002
	12 Yağrısa	89.807	2.341	78.000	66.000	66.507	7.584	73.000	66.000	-2.412	0.021
	13 G Ağzısa	82.084	7.834	47.500	22.000	84.269	18.384	44.500	24.000	1.475	0.183
	14 U1L-U2R	100.921	3.888	107.000	88.000	100.423	20.492	116.000	96.000	1.400	0.184
	15 U1L-U1R	100.921	3.888	107.000	88.000	100.423	20.492	116.000	96.000	1.400	0.184
	16 U1L-U2L	100.921	3.888	107.000	88.000	100.423	20.492	116.000	96.000	1.400	0.184
	17 U1L-U1L	100.921	3.888	107.000	88.000	100.423	20.492	116.000	96.000	1.400	0.184
	18 U1L-U1R	100.921	3.888	107.000	88.000	100.423	20.492	116.000	96.000	1.400	0.184
	19 U1L-U2R	100.921	3.888	107.000	88.000	100.423	20.492	116.000	96.000	1.400	0.184
	20 U1L-U1L	100.921	3.888	107.000	88.000	100.423	20.492	116.000	96.000	1.400	0.184
	21 U1L-U1R	100.921	3.888	107.000	88.000	100.423	20.492	116.000	96.000	1.400	0.184
	22 U1L-U2L	100.921	3.888	107.000	88.000	100.423	20.492	116.000	96.000	1.400	0.184
	23 U1L-U1L	100.921	3.888	107.000	88.000	100.423	20.492	116.000	96.000	1.400	0.184
	24 U1L-U2R	100.921	3.888	107.000	88.000	100.423	20.492	116.000	96.000	1.400	0.184
	25 U1L-U1R	100.921	3.888	107.000	88.000	100.423	20.492	116.000	96.000	1.400	0.184
	26 U1L-U2L	100.921	3.888	107.000	88.000	100.423	20.492	116.000	96.000	1.400	0.184
	27 U1L-U1L	100.921	3.888	107.000	88.000	100.423	20.492	116.000	96.000	1.400	0.184
	28 U1L-U2R	100.921	3.888	107.000	88.000	100.423	20.492	116.000	96.000	1.400	0.184
	29 U1L-U1R	100.921	3.888	107.000	88.000	100.423	20.492	116.000	96.000	1.400	0.184
	30 U1L-U2L	100.921	3.888	107.000	88.000	100.423	20.492	116.000	96.000	1.400	0.184
	31 U1L-U1L	100.921	3.888	107.000	88.000	100.423	20.492	116.000	96.000	1.400	0.184
	32 U1L-U2R	100.921	3.888	107.000	88.000	100.423	20.492	116.000	96.000	1.400	0.184
	33 U1L-U1R	100.921	3.888	107.000	88.000	100.423	20.492	116.000	96.000	1.400	0.184
	34 U1L-U2L	100.921	3.888	107.000	88.000	100.423	20.492	116.000	96.000	1.400	0.184
	35 U1L-U1L	100.921	3.888	107.000	88.000	100.423	20.492	116.000	96.000	1.400	0.184
	36 U1L-U2R	100.921	3.888	107.000	88.000	100.423	20.492	116.000	96.000	1.400	0.184
	37 U1L-U1R	100.921	3.888	107.000	88.000	100.423	20.492	116.000	96.000	1.400	0.184
	38 U1L-U2L	100.921	3.888	107.000	88.000	100.423	20.492	116.000	96.000	1.400	0.184
	39 U1L-U1L	100.921	3.888	107.000	88.000	100.423	20.492	116.000	96.000	1.400	0.184
	40 U1L-U2R	100.921	3.888	107.000	88.000	100.423	20.492	116.000	96.000	1.400	0.184
	41 U1L-U1R	100.921	3.888	107.000	88.000	100.423	20.492	116.000	96.000	1.400	0.184
	42 U1L-U2L	100.921	3.888	107.000	88.000	100.423	20.492	116.000	96.000	1.400	0.184
	43 U1L-U1L	100.921	3.888	107.000	88.000	100.423	20.492	116.000	96.000	1.400	0.184
	44 U1L-U2R	100.921	3.888	107.000	88.000	100.423	20.492	116.000	96.000	1.400	0.184
	45 U1L-U1R	100.921	3.888	107.000	88.000	100.423	20.492	116.000	96.000	1.400	0.184
	46 U1L-U2L	100.921	3.888	107.000	88.000	100.423	20.492	116.000	96.000	1.400	0.184
	47 U1L-U1L	100.921	3.888	107.000	88.000	100.423	20.492	116.000	96.000	1.400	0.184
	48 U1L-U2R	100.921	3.888	107.000	88.000	100.423	20.492	116.000	96.000	1.400	0.184
	49 U1L-U1R	100.921	3.888	107.000	88.000	100.423	20.492	116.000	96.000	1.400	0.184
	50 U1L-U2L	100.921	3.888	107.000	88.000	100.423	20.492	116.000	96.000	1.400	0.184
	51 U1L-U1L	100.921	3.888	107.000	88.000	100.423	20.492	116.000	96.000	1.400	0.184
	52 U1L-U2R	100.921	3.888	107.000	88.000	100.423	20.492	116.000	96.000	1.400	0.184
	53 U1L-U1R	100.921	3.888	107.000	88.000	100.423	20.492	116.000	96.000	1.400	0.184
	54 U1L-U2L	100.921	3.888	107.000	88.000	100.423	20.492	116.000	96.000	1.400	0.184
	55 U1L-U1L	100.921	3.888	107.000	88.000	100.423	20.492	116.000	96.000	1.400	0.184
	56 U1L-U2R	100.921	3.888	107.000	88.000	100.423	20.492	116.000	96.000	1.400	0.184
	57 U1L-U1R	100.921	3.888	107.000	88.000	100.423	20.492	116.000	96.000	1.400	0.184
	58 U1L-U2L	100.921	3.888	107.000	88.000	100.423	20.492	116.000	96.000	1.400	0.184
	59 U1L-U1L	100.921	3.888	107.000	88.000	100.423	20.492	116.000	96.000	1.400	0.184
	60 U1L-U2R	100.921	3.888	107.000	88.000	100.423	20.492	116.000	96.000	1.400	0.184
	61 U1L-U1R	100.921	3.888	107.000	88.000	100.423					

Adenolidektomi Operasyonunun Dentofasyal Yapılar Üzerine Etkisi

Tablo 8- Kontrol Grubundaki Açısal ve Boyutsal Ölçümlerin Önem Kontrolü.

	KONTROL BAŞLANGICI				KONTROL SONU				t	P	Test	
	X	Sd	max	min	X	Sd	max	min				
ACİSAL OLÇÜMLER	1 SNA	79,692	3,294	96,000	78,000	79,192	9,207	96,000	78,000	-0,749	0,525	
	2 SNB	74,846	3,917	92,500	71,000	75,780	13,957	93,500	71,000	1,906	0,378	
	3 ANB	4,926	2,308	9,000	1,000	5,583	9,702	9,000	2,500	-3,006	0,011	*
	4 SN-ML	40,615	5,303	50,000	30,000	39,076	22,381	42,000	30,000	-2,245	0,042	*
	5 BaSN	131,230	6,877	144,000	119,000	132,461	20,350	145,000	123,500	1,979	0,063	
	6 SN-Pal.	11,038	5,235	21,000	1,000	11,153	14,818	19,000	3,000	0,119	0,906	
	7 Pal-ML	23,632	5,056	40,000	22,000	27,384	25,418	40,000	15,000	-1,389	0,194	
	8 Gonial Açı	130,153	7,695	146,000	119,000	123,615	30,231	148,000	117,000	-0,621	0,552	
	9 U1L-SN	102,384	3,062	107,000	98,500	98,323	21,827	110,000	91,000	-1,984	0,066	
	10 L1L-ML	33,459	6,572	105,000	82,000	32,461	32,267	106,800	73,000	-0,478	0,645	
	11 U1L-L1L	126,576	3,502	143,000	114,000	130,000	25,951	141,000	116,000	1,778	0,098	
	12 Y Açı	78,000	4,287	80,000	66,500	72,763	12,378	79,000	67,000	-0,430	0,677	
	13 G Açı	36,576	3,034	39,500	23,000	34,268	12,621	44,000	-0,662	0,662	0,526	
BOYUTSAL OLÇÜMLER	1 ANS-PRS	49,076	4,536	59,000	44,000	57,158	15,155	62,000	50,000	8,322	0,000	**
	2 S-E	19,000	3,662	24,500	14,000	22,153	9,470	28,000	18,000	5,186	0,000	**
	3 Ar-Go	40,769	3,897	47,000	34,000	48,769	14,010	54,000	42,000	8,051	0,000	**
	4 Go-Gn	59,951	3,884	38,000	53,500	79,307	23,202	37,000	71,000	6,817	0,000	**
	5 T1	11,576	3,265	17,000	6,000	10,153	14,131	20,000	3,000	-1,000	0,839	
	6 T2	9,384	3,023	13,500	4,000	9,384	11,919	16,000	4,000	1,707	0,111	
	7 S-Go/N-Gn	0,602	0,038	0,680	0,543	0,627	0,189	0,725	0,526	2,719	0,013	*
	8 N-ANS/N-Gn	0,444	0,024	0,476	0,412	0,443	0,081	0,479	0,407	-0,114	0,907	
	9 ANS-Gn/N-Gn	0,547	0,022	0,578	0,504	0,543	0,093	0,593	0,500	0,327	0,747	
	10 NC-NC	22,823	2,596	38,000	19,000	24,323	10,243	30,000	18,000	2,662	0,020	*

P < 0,001\*\*\* P < 0,01\*\* P < 0,05\*

Tablo 9- Tedavi ve Kontrol Başlangıçlarındaki Açısal ve Boyutsal Ölçümlerin Önem Kontrolü.

	TEDAVİ BAŞLANGICI				KONTROL BAŞLANGICI				t	P	Test	
	X	Sd	max	min	X	Sd	max	min				
ACİSAL OLÇÜMLER	1 SNA	81,481	3,272	96,000	76,000	79,692	3,165	96,000	78,000	-1,348	0,186	
	2 SNB	76,576	3,523	88,500	69,000	74,846	3,754	82,500	71,000	-1,161	0,256	
	3 ANB	4,884	2,282	10,000	-2,500	4,926	2,217	9,000	1,000	-0,008	0,870	
	4 SN-ML	36,007	5,104	47,000	25,000	40,615	5,677	50,000	30,000	1,954	0,055	
	5 BaSN	127,088	4,900	136,000	120,000	131,230	6,704	144,000	119,000	1,748	0,090	
	6 SN-Pal.	8,323	3,245	14,000	4,000	11,098	5,020	21,000	1,000	1,225	0,280	
	7 Pal-ML	28,088	5,175	37,000	18,000	29,692	4,857	40,000	22,000	-0,807	0,567	
	8 Gonial Açı	129,780	5,968	145,000	119,000	130,153	7,526	146,000	118,000	0,181	0,875	
	9 U1L-SN	100,981	5,171	107,000	88,000	102,384	2,942	107,000	88,800	-0,828	0,578	
	10 L1L-ML	30,615	6,054	101,000	80,000	32,269	6,314	105,000	82,000	1,060	0,204	
	11 U1L-L1L	127,384	3,895	156,000	123,000	126,576	6,168	148,000	114,000	-3,009	0,006	
	12 Y Açı	68,807	2,341	73,000	66,000	68,307	7,584	90,000	66,500	-2,418	0,031	*
	13 G Açı	32,384	7,046	47,500	22,000	33,575	2,373	39,500	29,000	0,540	0,600	
BOYUTSAL OLÇÜMLER	1 ANS-PRS	44,870	2,420	50,000	41,000	49,076	4,358	58,000	44,000	2,983	0,007	**
	2 S-E	16,588	2,372	22,000	11,000	19,000	3,513	24,500	14,000	1,877	0,070	
	3 Ar-Go	38,420	3,668	45,000	32,000	40,769	3,744	47,000	34,000	1,560	0,161	
	4 Go-Gn	56,192	5,307	79,000	58,000	59,951	6,574	68,000	59,500	1,284	0,205	
	5 T1	15,115	4,543	23,000	3,000	11,576	3,186	17,000	5,000	-2,218	0,034	*
	6 T2	7,384	1,892	9,000	5,000	9,384	2,909	18,500	4,000	1,828	0,114	
	7 S-Go/N-Gn	0,641	0,040	0,740	0,584	0,602	0,087	0,680	0,543	-2,411	0,023	*
	8 N-ANS/N-Gn	0,486	0,021	0,466	0,400	0,444	0,028	0,476	0,412	0,881	0,581	
	9 ANS-Gn/N-Gn	0,585	0,021	0,600	0,582	0,547	0,021	0,573	0,504	-2,025	0,051	
	10 NC-NC	20,384	2,131	24,000	15,000	22,323	2,494	36,000	18,000	2,673	0,016	*

P < 0,001\*\*\* P < 0,01\*\* P < 0,05\*

Tablo 10- Tedavi ve Kontrol Sonlarındaki Açısal ve Boyutsal Ölçümlerin Önem Kontrolü.

		TEDAVİ SONU				KONTROL SONU				t	P	Test
		X	Sd	max	min	X	Sd	max	min			
<b>AÇISAL ÖLÇÜMLER</b>												
1	SNA	80.588	3.565	86.000	78.000	79.192	2.553	86.000	78.000	-1.063	0.299	
2	SNB	78.307	3.273	82.000	71.000	75.780	3.871	83.500	71.000	-1.760	0.098	
3	ANB	2.280	0.812	8.000	-2.000	3.588	2.893	8.000	-2.500	1.162	0.256	
4	SN-ML	88.230	4.060	90.000	85.000	89.077	6.207	92.000	80.000	2.730	0.018	*
5	BaSN	128.858	5.247	138.000	120.000	132.461	5.817	146.000	123.800	2.594	0.011	*
6	SN-PaL	8.823	3.384	14.000	3.000	11.153	4.054	19.000	3.000	1.468	0.153	
7	PaL-ML	25.076	4.680	82.000	15.000	27.884	7.049	40.000	15.000	1.150	0.360	
8	Gonial Açı	124.846	5.460	135.000	118.000	123.615	6.401	143.000	117.000	1.648	0.109	
9	ULL-SN	103.428	5.883	116.000	96.000	98.923	6.053	110.000	91.000	-1.877	0.070	
10	LIL-ML	35.153	6.124	104.000	84.000	32.461	9.226	106.500	79.000	-0.842	0.587	
11	ULL-LIL	128.428	7.745	138.000	115.000	130.000	7.200	141.000	116.000	0.516	0.615	
12	Y-Açısı	68.807	2.089	2.089	65.000	72.769	3.598	79.000	67.000	3.714	0.001	*
13	G-Açısı	84.269	5.268	44.500	24.000	84.269	6.500	44.000	-0.662	0.000	1.000	
<b>BOYUTSAL ÖLÇÜMLER</b>												
1	ANS-PNS	54.768	2.965	61.000	50.000	57.158	4.208	68.000	50.000	1.805	0.118	
2	S-E	20.034	3.270	26.000	15.000	22.156	2.626	28.000	18.000	1.480	0.154	
3	Ar-Go	48.461	5.078	58.000	40.000	48.763	3.885	54.000	42.000	0.166	0.863	
4	Go-Gn	80.692	5.074	89.000	71.000	79.307	8.099	97.000	71.000	-0.501	0.625	
5	T1	11.461	2.886	17.000	7.000	10.153	3.919	20.000	5.000	-0.329	0.635	
6	T2	10.815	3.484	15.000	7.000	9.884	3.805	16.000	4.000	-0.616	0.550	
7	S-Go/N-Gn	0.262	0.036	0.784	0.605	0.627	0.062	0.725	0.526	-1.725	0.034	
8	N-ANS/N-Gn	0.447	0.026	0.482	0.381	0.443	0.022	0.473	0.407	-0.354	0.725	
9	ANS-Gn/N-Gn	0.553	0.026	0.619	0.518	0.543	0.025	0.593	0.500	-0.281	0.732	
10	NC-CR	26.2.30	3.721	31.000	21.000	24.923	2.840	30.000	18.000	-1.151	0.260	

P &lt; 0.001\*\*\* P &lt; 0.01\*\* P &lt; 0.05\*

Tablo 11- Tedavi ve Kontrol Grupları Başlangıç-Bitiş Açısal ve Boyutsal Ölçümleri Arasındaki Farkların Önem Kontrolü.

		TEDAVİ BAS-SONU (Fark)				KONTROL BAS-SONU (Fark)				t	P	Test
		X	Sd	max	min	X	Sd	max	min			
<b>AÇISAL ÖLÇÜMLER</b>												
1	SNA	-0.323	3.232	8.000	-8.000	-0.500	2.812	4.000	-5.000	0.364	0.719	
2	SNB	1.730	3.079	9.000	-2.000	0.884	1.607	4.000	-2.000	-0.848	0.588	
3	ANB	-2.656	3.230	2.000	-6.500	-1.384	1.595	2.000	-3.000	1.608	0.113	
4	SN-ML	-6.076	3.381	0.000	-15.000	-1.538	2.875	4.000	-6.000	1.160	0.256	
5	BaSN	-0.385	1.777	2.000	-4.000	1.280	2.168	4.500	-2.000	0.003	0.954	
6	SN-PaL	0.000	3.689	5.000	-4.000	0.115	3.887	5.000	-8.000	0.092	0.924	
7	PaL-ML	-4.152	4.111	9.000	-11.000	-1.807	4.572	11.000	-8.000	0.780	0.581	
8	Gonial Açı	-4.884	7.085	1.000	-25.000	-0.598	8.002	5.000	-7.000	1.963	0.056	
9	ULL-SN	2.461	5.087	12.000	-6.000	-3.481	6.042	6.500	-16.000	-2.392	0.024	*
10	LIL-ML	4.538	4.882	14.000	-5.000	-0.807	5.858	8.000	-12.000	-2.489	0.021	*
11	ULL-LIL	-8.361	7.882	7.000	-21.000	3.423	9.578	12.000	-12.000	-4.051	0.002	**
12	Y-Açısı	-1.500	3.146	8.000	-5.000	-0.230	1.866	5.000	-2.000	1.548	0.181	
13	G-Açısı	1.834	4.426	5.500	-7.000	0.892	3.819	5.000	-8.000	-0.722	0.516	
<b>BOYUTSAL ÖLÇÜMLER</b>												
1	ANS-PNS	9.991	3.605	16.300	5.000	8.076	3.361	18.000	9.000	-1.585	0.194	
2	S-E	3.648	3.158	7.000	0.000	8.158	2.106	7.000	0.000	-0.860	0.592	
3	Ar-Go	10.068	3.754	17.000	4.000	8.000	3.441	18.000	9.000	-1.386	0.175	
4	Go-Gn	14.500	4.039	23.500	3.000	9.846	4.292	17.500	-2.000	-2.796	0.010	*
5	T1	-3.253	4.058	8.000	-11.000	-1.433	4.323	7.500	-8.000	1.208	0.287	
6	T2	8.280	2.392	7.000	-1.000	1.000	2.028	8.000	-4.000	-2.524	0.018	*
7	S-Go/N-Gn	0.012	0.081	0.096	-0.095	0.024	0.021	0.072	-0.056	0.956	0.650	
8	N-ANS/N-Gn	0.010	0.030	0.084	-0.053	0.000	0.025	0.046	0.054	-0.932	0.563	
9	ANS-Gn/N-Gn	-0.012	0.080	0.088	-0.084	0.002	0.028	0.061	-0.046	1.318	0.167	
10	NC-CR	5.846	1.750	9.000	3.000	2.000	2.201	9.000	0.000	-4.218	0.001	*

P &lt; 0.001\*\*\* P &lt; 0.01\*\* P &lt; 0.05\*

Adenolidektomi Operasyonunun Dentofasiyal Yapılar Üzerine Etkisi

Tablo 12- Tedavi Grubundaki Model Ölçümlerinin Önem Kontrolü.

	TEDAVİ BAŞLANGICI				TEDAVİ SONU				t	P	Test
	x	Sd	max	min	x	Sd	max	min			
1 MARSİLLER GENİŞLİK	46.000	8.162	49.000	39.000	47.307	8.645	52.000	44.000	8.816	0.006	**
2 MARSİLLER UZUNLUK	26.428	2.215	31.500	23.500	26.807	7.859	35.000	26.000	8.078	0.009	**
3 PALATAL DERİNLİK	18.076	1.891	15.000	9.000	17.115	8.430	20.000	13.000	8.157	0.000	***
4 MANDİBÜLER GENİŞLİK	39.000	1.870	42.000	37.000	42.846	7.189	46.000	36.000	4.763	0.001	**
5 MANDİBÜLER UZUNLUK	26.461	1.743	29.000	22.500	27.846	9.364	34.000	23.000	2.152	0.050	*

P < 0.001\*\*\* P < 0.01\*\* P < 0.05\*

Tablo 13- Kontrol Grubundaki Model ölçümlerinin Önem Kontrolü.

	KONTROL BAŞLANGICI				KONTROL SONU				t	P	Test
	x	Sd	max	min	x	Sd	max	min			
1 MARSİLLER GENİŞLİK	41.768	2.712	47.000	36.000	46.076	10.301	52.000	40.000	5.848	0.000	***
2 MARSİLLER UZUNLUK	26.576	1.255	31.000	26.500	26.000	7.342	35.000	25.000	0.365	0.621	
3 PALATAL DERİNLİK	15.076	1.705	18.000	13.000	17.842	7.726	44.000	22.000	4.638	0.001	**
4 MANDİBÜLER GENİŞLİK	37.807	2.250	41.000	34.000	40.846	11.121	46.000	34.000	3.204	0.008	**
5 MANDİBÜLER UZUNLUK	26.264	2.117	26.500	21.000	26.268	6.269	25.000	19.000	-4.252	0.001	**

P < 0.001\*\*\* P < 0.01\*\* P < 0.05\*

Tablo 14- Tedavi ve Kontrol Başlangıçlarındaki Model Ölçümlerinin Önem Kontrolü.

	TEDAVİ BAŞLANGICI				KONTROL BAŞLANGICI				t	P	Test
	x	Sd	max	min	x	Sd	max	min			
1 MARSİLLER GENİŞLİK	43.000	8.086	49.000	39.000	41.768	2.712	47.000	36.000	-1.065	0.238	
2 MARSİLLER UZUNLUK	26.428	2.128	31.500	23.500	26.576	1.206	31.000	26.500	0.217	0.824	
3 PALATAL DERİNLİK	18.076	1.817	15.000	9.000	15.076	1.639	18.000	13.000	2.891	0.005	**
4 MANDİBÜLER GENİŞLİK	39.000	1.737	42.000	37.000	37.807	2.162	41.000	34.000	-1.468	0.152	
5 MANDİBÜLER UZUNLUK	26.461	1.680	29.000	22.500	26.268	6.054	26.500	21.000	-1.565	0.127	

P < 0.001\*\*\* P < 0.01\*\* P < 0.05\*

Tablo 15- Tedavi ve Kontrol Sonlarındaki Model Ölçümlerinin Önem Kontrolü.

	TEDAVİ SONU				KONTROL SONU				t	P	Test
	x	Sd	max	min	x	Sd	max	min			
1 MARSİLLER GENİŞLİK	47.307	2.338	52.000	44.000	46.076	8.689	52.000	40.000	-0.368	0.656	
2 MARSİLLER UZUNLUK	26.807	2.179	35.000	26.000	26.000	2.038	35.000	25.000	-3.259	0.004	**
3 PALATAL DERİNLİK	17.115	2.688	20.000	13.000	17.842	2.142	44.000	22.000	0.738	0.562	
4 MANDİBÜLER GENİŞLİK	42.846	1.934	46.000	38.000	40.846	3.084	46.000	34.000	-1.866	0.068	
5 MANDİBÜLER UZUNLUK	27.861	2.597	34.000	28.000	28.268	1.798	25.000	19.000	-5.072	0.000	***

P < 0.001\*\*\* P < 0.01\*\* P < 0.05\*

Tablo 16- Tedavi ve Kontrol Grupları Başlangıç-Bitiş Model Ölçümleri Arasındaki Farkların Önem Kontrolü.

	TEDAVİ BAŞ-SONU (FARK)				KONTROL BAŞ-SONU (FARK)				t	P	Test
	x	Sd	max	min	x	Sd	max	min			
1 MARSİLLER GENİŞLİK	4.307	8.910	9.000	-4.000	4.307	2.553	8.000	0.000	0.000	1.000	
2 MARSİLLER UZUNLUK	2.884	2.682	10.000	0.500	-0.576	2.128	4.000	-5.000	-2.395	0.006	**
3 PALATAL DERİNLİK	4.088	1.714	7.000	0.500	2.763	2.048	5.000	-1.000	-1.847	0.109	
4 MANDİBÜLER GENİŞLİK	2.846	2.796	9.000	-8.000	4.307	2.553	9.000	-5.000	0.423	0.800	
5 MANDİBÜLER UZUNLUK	1.076	2.632	8.000	-2.000	-2.000	1.427	0.000	-4.000	3.325	0.001	**

P < 0.001\*\*\* P < 0.01\*\* P < 0.05\*

## TARTIŞMA VE SONUÇLAR

Solunum şeklinin kraniofasiyal yapılar üzerindeki etkileri hakkında farklı görüşler ortaya çıkmaktadır. Birçok araştırmacı, nazal obstrüksiyon ve kraniofasiyal büyümeye arasındaki ilişkiyi, nazal obstrüksiyonun kaldırılmasını takiben, fonksiyonda ve morfolojik yapıda oluşabilecek değişiklikleri inceleyerek araştırmışlardır (11, 15, 17, 18, 21, 35).

Özellikle Adenoidektomi sonrası longitudinal olarak dentofasiyal yapıların incelenmesi bu tür çalışmalar içinde ayrı bir değer taşımaktadır (15, 17, 18, 21).

Araştırmamızda, nazal obstrüksiyonlu opere ve non-opere bireylerin 6 yıl sonra dentofasiyal yapıları incelenmiştir. Bu amaçla dijital tip planimetreden, lateral ve antero-posterior sefalogramlardan ve alçı modellerden yararlanılmıştır.

Nazofarengéal alanının ölçümü, birçok araştırmacının yaptığı gibi planimetre aygıtı ile gerçekleştirılmıştır (5, 8, 10, 14, 18).

Maksiller ve mandibüler ark genişlikleri, uzunlukları ve palatal derinlik, alçı modellerde Korkhaus pergeli ile hasas bir şekilde ölçülmüştür.

Çalışmamızın sonunda elde ettigimiz planimetrik, iskeletsel ve dental bulgular ayrı ayrı değerlendirilmiştir.

### *Nazofarengéal Alan ile İlgili Planimetrik ve Sefalométrik Bulguların Değerlendirilmesi*

Linder-Aronson (16)'un belirttiği gibi adenoid alanının nazofarengéal alanına olan relatif ölçümü, ağız solunumu üzerinde önemli bir rol oynamaktadır.

Bu nedenle çalışmamızda nazal direnç (Solunum alanı/Nazofarengéal alan) hesaplanmıştır. Nazal direncin, tedavi ve kontrol grupları farkında istatistiksel olarak önemli olduğu bulunmuştur ( $p < 0.01$ ) (Tablo 6). Tedavi grubunda nazal direncin oldukça belirgin bir şekilde azaldığı saptanmıştır.

Sfenoid düzlem ile Palatal düzlem arasında kalan Q açısının her iki grupta da değişmemesi nazofarengéal alanı belirleyen düzlemlerimizin güvenilir olduğunu göstermektedir ( $p > 0.05$ ) (Tablo 7-11). Zaten, Hadelman ve Osborne (10)'da 1 yaşından 18 yaşına kadar bu açının değişmediğini belirtmişlerdir.

Ayrıca antero-posterior sefalogramlarda ölçtüğümüz CN-NC boyutu, (Nazal kavitenin en geniş bölgesi) tedavi ve kontrol grubu farkında istatistiksel olarak önemli bulunmuştur ( $p < 0.01$ ) (Tablo 11). Tedavi grubundan CN-NC boyutunun oldukça belirgin bir şekilde arttığı saptanmıştır. Bu da planimetrik bulgularımızı desteklemektedir. Kanimizca bu değer artışı, adenoidektomi operasyonu geçi-

ren bireylerin solunum alanlarının genişlediğini, nazal direncinin azaldığını ve nazal solunum yollarının açıldığını göstermektedir.

Nazal direncin azalması ve CN-NC mesafesindeki artışlar ile ilgili bulgularımız Linder-Aronson (16, 17, 18), Ricketts (27, 28), Bushey (5), Kerr ve arkadaşları (15) ve Pirkko-Lisa ve Koski (25)'nin çalışmalarıyla uyum içindedir.

### *Iskeletsel Bulguların Değerlendirilmesi*

Paul ve Nanda (24), McNamara (22), Ricketts (27) ve Subtelny (33) araştırmalarında ağız solunumunda belirli bir iskeletsel yapı olduğunu, çoğu kez açık kapanış (Open bite), Cl II div 1 ve Cl III malokluzyonların görüldüğünü ileri sürmektedirler. Buna karşın Linder-Aronson (16, 18, 19), Bluestone (4), Sosa ve arkadaşları (31), Watson ve arkadaşları (40) gibi birçok araştırmacı (7, 25, 34), ağız solunumunun belirli bir iskeletsel yapıyı oluşturmadığını belirtmektedirler. Araştırmacılarla göre, ağız solunumunda iskeletsel yapıların her tipinin görülebileceği ifade edilmektedir.

Araştırmamızda iskeletsel sınıflamayı belirleyen SNA, SNB ve ANB açıları incelendiğinde tedavi grubu ile kontrol grubu arasında istatistiksel olarak önemli bir fark saptanmamıştır ( $p > 0.05$ ) (Tablo 7-11). Bu değerlendirmeler bize ağız solunumu ile iskeletsel sınıflama arasında ilişkin olmadığını göstermektedir.

### *Kranial Kaide Eğim Açısının Değerlendirilmesi*

Solow ve arkadaşları (29, 30), kranial kaide eğim açısının, adenoid hipertrofisine bağlı olarak nazal obstrüksiyonda arttığını, buna karşın adenoidektomi operasyonunu takiben bu açıda bir azalma olduğunu bulmuşlardır. Bu görüşü Pirkko-Lisa ve Koski (25), Linder-Aronson (16, 19), Behlfelt ve arkadaşları (3), Vig ve arkadaşları (39)'da desteklemektedirler.

Biz de araştırmamızda adenoidektomi sonrası kranial kaide eğim açısını inceledik. Tedavi ve kontrol sonu gruplarında bu açı istatistiksel olarak önemli bir fark gösterirken ( $p < 0.05$ ) (Tablo 10), tedavi ve kontrol grupları farkında ise istatistiksel olarak önemlili yakın bir değer saptanmıştır ( $p > 0.05$ ) (Tablo 11). Adenoidektomiden sonra nazal direncin azalmasına bağlı olarak kranial kaide eğim açısından, azalma eğilimi olduğu görülmektedir. Bu bulgumuz, Solow ve arkadaşlarının çalışmalarıyla uyum içindedir (29, 30).

### *Mandibüler Büyüme Yönüne Değerlendirilmesi*

Pirkko-Lisa ve Koski (25), adenoid hipertrofisi olan çocukların mandibülerin bütünüyle rotasyon yapmadığını ancak ramusun palatal düzleme göre geriye rotasyon yaptığı bulmuşlardır. Ayrıca adenoidli çocukların alçalın dil ve mandibula yerine, kranial kaide ve maksillanın yükseldiğini ileri sürmektedirler.

Çalışmamızda büyümeye yönünü gösteren SN-ML ve Y ekseni açıları incelendiğinde, tedavi ve kontrol sonu gruplarında istatistiksel olarak önemli bir fark bulunurken ( $p < 0.05$ ,  $p < 0.01$ ) (Tablo 10), tedavi ve kontrol grupları farkında ise istatistiksel olarak önemli bir değere rastlanmamıştır ( $p > 0.05$ ) (Tablo 11). Ayrıca Pal-ML açısının, tedavi grubu dışındaki diğer değerlendirmelerinde öneksiz çıkması, adenoidektomi operasyonu sonucunda mandibüler büyümeye yönünün çok fazla etkilenmediğini göstermektedir ( $p > 0.05$ ) (Tablo 7-11). Bu değerlendirmelerimiz Pirkko-Lisa ve Koski (25), Handelman ve Osborne (10)'un çalışmalarıyla uyum içerisindeidir.

#### ***Vertikal Yüz Oranlarının Değerlendirilmesi***

Linder-Aronson ve arkadaşları (20, 21), Woodside ve Linder-Aronson (42), adenoid hipertrofisi sonucu mandibulanın alçalmasına bağlı olarak alt yüz boyutunun total yüz boyutuna göre önemli bir artış gösterdiğini ileri sürmektedirler. Çalışmamızda, vertikal yönde yüz oranlarının değerlendirilmesinde, istatistiksel olarak önemli bir bulguya rastlanmamıştır ( $p > 0.05$ ) (Tablo 7-11). Bu değerlendirmelerimiz Kerr ve McWilliam (15)'in bulgularıyla uyumludur. Burada, mandibüler büyümeye yönünü gösteren açılarda çok fazla önemli bir değişiklik olmadığı için, yüz boyutlarının etkilenmediğini söyleyebiliriz.

#### ***Maksillanın Konumunun ve Eğiminin Değerlendirilmesi***

Linder-Aronson (18) ve Woodside ve arkadaşları (43) adenoidektomiden 5 yıl sonra SN-Pal açısı ve ANS-PNS boyutunun değişmediğini bulmuşlardır. Buna karşın, Subtelny (33) ve Bushey (5) ise nazal obstrüksiyona bağlı olarak SN-Pal açısının ve ANS-PNS boyutunun azaldığını belirtmektedirler.

Araştırmamızda maksillanın eğimini ve boyutunu belirleyen SN-Pal açısı ve ANS-PNS boyutu değerlendirildiğinde, tedavi ve kontrol grupları farkında istatistiksel olarak önemli bir değere rastlanmamıştır ( $p > 0.05$ ) (Tablo 11). Bu değerlendirmelerimiz, Pirkko-Lisa ve Koski (25), O'Ryan ve arkadaşları (23), Linder-Aronson (18) ve Woodside ve arkadaşları (43) ve Handelman ve Osborne (10)'un bulgularıyla uyum içerisindeidir.

#### ***Mandibulanın Konumunun Değerlendirilmesi***

Linder-Aronson (18, 19) ve arkadaşları (21), Woodside ve arkadaşları (43), adenoidektomi operasyonundan sonra kontrol grubuna göre mandibüler korpus uzunluğunda artış görüldüğünü fakat bunun istatistiksel olarak öneksiz olduğunu belirtmektedirler. Kondil konumunda ve ramus yüksekliğinde ise önemli bir değişiklik bulamamışlardır.

Çalışmamızda, mandibulanın kendi içerisinde rotasyonunu gösteren gonial açısının tedavi grubundaki azalması istatistiksel olarak önemli bulunurken ( $p < 0.05$ ) (Tablo 7),

tedavi ve kontrol grupları farkı karşılaştırıldığında istatistiksel olarak önemliliye yakın bir değer saptanmıştır ( $p > 0.05$ ) (Tablo 11). Gonial açıda çok belirgin bir azalma olmadığı için mandibüler büyümeye yönünün etkilenmediğini düşünmektedir. Bu değerlendirmemiz, Bushey (5), Linder-Aronson (18, 19) ve arkadaşları (21), Woodside ve arkadaşları (43) ve Gwendolyn ve arkadaşları (9)'nın bulgularına benzemektedir.

Mandibüler korpus uzunluğunu gösteren Go-Gn boyutu, tedavi ve kontrol grupları farkında istatistiksel olarak önemli bir artış göstermiştir ( $p < 0.05$ ) (Tablo 11). Kanıtmazca bu artışın sebebi, mandibüler korpusun normal büyümeyi yakaladığıdır. (Buradaki büyümeye değişikliğinin dil konumu ile olan ilişkisinden ilerde bahsedilecektir). Tedavi grubundaki mandibüler korpus uzunluğundaki artış, Kerr ve McWilliam (15), Linder-Aronson (18)'un bulgularıyla uyum içindeyken, Gwendolyn ve arkadaşları (9)'nın çalışmalarıyla gelişmektedir.

Ramus yüksekliğini belirleyen Ar-Go boyutu ve kondilin konumunu belirleyen S-E boyutu, tedavi ve kontrol grupları farkında istatistiksel olarak öneksiz bulunmuştur ( $p > 0.05$ ) (Tablo 11). Bu boyutsal ölçümümüz Linder-Aronson (18), Gwendolyn ve arkadaşları (9)'nın çalışmalarıyla uyum içindeyken, Kerr ve McWilliam (15)'in bulgularıyla gelişmektedir.

#### ***Keser Konumlarının Değerlendirilmesi***

Linder-Aronson (16, 17, 18, 20) ve Behlfelt ve arkadaşları (2) çalışmalarında, adenoidektomiden 5 yıl sonra üst ve alt keserlerin pozisyonunu incelemiştir. Adenoidektomi operasyonunu takiben ilk 1 yıl içerisinde üst keserin SN ve alt keserin ML ile olan açılardında önemli artışlar saptanmışlardır. Bunun sebebi ise, adenoidektomiden sonra burun solunumuna geçilmesi ve perioral kaslar ile dil dengesinin sağlanmış olmasıdır.

Çalışmamızda, dental değişiklikleri belirlemek amacıyla kullandığımız üst keser SN, alt keser ML ve keserlerarası açılar incelendiğinde; Üst keser SN ve alt keser ML açılaların tedavi ve kontrol grupları farkının istatistiksel olarak önemli olduğu saptanmıştır ( $p < 0.05$ ) (Tablo 11). Tedavi grubunda bu açılar artmıştır. Bunun sonucu olarak üst ve alt keserlerin adenoidektomi operasyonu sonrası ilerde konumlandığı belirlenmiştir. Ayrıca, keserler arası açının tedavi grubunda istatistiksel olarak azalığı bulunmuştur ( $p < 0.01$ ) (Tablo 11). Bu bulgularımızın Linder-Aronson (16, 17, 18, 20) ve Behlfelt ve arkadaşları (2)'nın çalışmalarıyla uyumlu olduğu gözlenmektedir.

#### ***Dil Konumunun Değerlendirilmesi***

Birçok yazar, nazal obstrüksiyon sonucunda kişinin ağız solunumuna yöneldiğini böylece dilin ağız solunumunu kolaylaştırmak amacıyla aşağıda yer aldığı belirtmektedirler. Bu durumda, dil kasları ile dudak ve yanak kasları arasındaki denge bozulacak, dental ve iskeletsel bozukluklar ortaya çıkacaktır (1, 2, 3, 33, 43).

Linder-Aronson (18) ve Behlfelt ve arkadaşları (3), nazal obstrüksiyonlu bireylerde adenoidektomi operasyonunu takiben dilin oral kavite içinde birkaç milimetre yükseldiğini belirtmektedirler. Bunu da ağız solunumundan burun solunumuna dönülmesi ve mandibulanın anterior rotasyon yapması ile açıklamaktadır. Ricketts (28) ve McNamara (22)'da yaptığı araştırmalarda benzer bulgular elde etmişlerdir.

Çalışmamızda, dilin vertikal (T1) ve sagittal (T2) yönde konumu incelendiğinde;

T1 boyutu, tedavi grubunda istatistiksel olarak önemli bir azalma göstermiştir ( $p < 0.01$ ) (Tablo 7). Bu azalma, birçok araştırmacının da belirttiği gibi, dilin vertikal konumunun burun solunumuna geçilmesiyle önemli bir şekilde etkilendiğini göstermektedir (1, 18, 22, 28). Yani, adenoidektomiden sonra dilin oral kavite içinde yükselmesi mandibulanın anterior rotasyon yapmasına neden olmuştur (Tablo 7). Bununla beraber, tedavi ve kontrol grupları farkı incelendiğinde, T1 boyutundaki değişiklikler istatistiksel olarak anlamlı bir değer taşımamaktadır ( $p < 0.05$ ) (Tablo 11). Bunun sebebi ise, mandibüler korpus uzunluğunun artışı sonucunda dilin daha çok sagittal yönde hareket ederek vertikal yüksekliğini artırmasıdır.

T2 boyutu incelendiğinde ise, tedavi grubu ve tedavi ve kontrol grupları farkı istatistiksel olarak önemli değişiklikler göstermiştir ( $p < 0.01$ ,  $p < 0.05$ ) (Tablo 7, 11). Her iki grupta dilin anteriorda konumlanması; mandibüler korpus uzunluğunun artışı ile açıklanabilir.

Dil konumu ile ilgili bulgularımız, Linder-Aronson (18) ve Behlfelt ve arkadaşları (3), Ricketts (28) ve McNamara (22)'nin bulgularıyla uyumludur.

#### **Akı Model Bulgalarının Değerlendirilmesi**

Linder-Aronson (16, 17, 18, 19) ve Behlfelt ve arkadaşları (2), nazal obstrüksiyonlu bireylerde palatal derinliğin arttığını, maksiller ark genişliğinin ve maksiller ve mandibüler ark uzunlıklarının azaldığını, ancak mandibüler ark genişliğinin etkilenmediğini saptamışlardır. Araştırmacılar, gözlenen farklılıkların dil pozisyonuna, orofarengéal ve orofasiyal kasların aktivitesindeki değişikliklere bağlamaktadırlar. Ricketts (23) ve McNamara (22)'nin elde ettiği bulgular da aynı yöndedir.

Subtelny (33), ağız solunumunda palatal derinlikteki artışın dar bir üst arktan dolayı optik bir illüzyon olabileceğini ifade etmektedir.

Ung ve arkadaşları (36) ise, maksiller ve mandibüler molarlar arasındaki ark genişliklerinin oral solunum ile ilişkili olmadığını söylemektedirler.

Çalışmamızda, tedavi grubunda palatal derinliğin, maksiller ve mandibüler ark genişliklerinin ve maksiller ve

mandibüler ark uzunlıklarının etkilendiği görülmektedir (Tablo 12). Bu değişiklikler, Linder-Aronson (16, 17, 18, 19) ve Behlfelt ve arkadaşları (2)'nın, çalışmalarıyla uyum içerisindeştir. Ancak tedavi ve kontrol grupları farkı incelendiğinde, sadece maksiller ve mandibüler ark uzunlıklarında istatistiksel olarak önemli değişikliklerin olduğu saptanmıştır. Yani, tedavi grubunda alt ve üst keserler ileriye doğru eğimlenmiştir. Bu durum, adenoidektomi operasyonu sonucunda oral solunumdan nazal solunuma geçilmesiyle, perioral ve dil kasları arasındaki dengenin tekrar sağlandığını göstermektedir. Ayrıca sefalometrik radyograflerdeki dental değerlendirmelerimizde, bu bulgularımızı desteklemektedir.

Çalışmamızda, adenoidektomi operasyonuyla palatal derinliğin ve maksiller genişliğin etkilenmemesi, Subtelny (32, 33), Whitaker (41) ve Ung ve arkadaşları (36)'nın elde ettikleri bulgularla aynı yöndedir. Sonuç olarak, adenoidektomi operasyonunun dental yapılara kısıtlı bir etki yaptığı düşünmektedir.

Çalışmamızda elde ettiğimiz sonuçlara göre, nazal obstrüksiyonlu bireylerde burun solunumunu sağlayabilmek için yapılan adenoidektomi operasyonunun, iskeletsel yapılar üzerinde bir miktar etkili olduğunu, buna karşın dental yapılara özellikle alt ve üst keser eğilimlerine daha fazla etkili olduğu belirlenmiştir. Ayrıca yapılan adenoidektomi operasyonu sonucunda, önemli oranda nazal dirençlerinin azalması, bireylerin nazal hava pasajlarının açıldığını ve solunum alanlarının arttığını göstermektedir.

Bulgularımızı özetle değerlendirecek olursak, dentofasial yapıların sagittal ve vertikal yöndeki değişikliklerinin, nazal direnç ile ilgili olmadığı söylenebilir. Bu durumda, tek başına bu operasyonun, yüz tipini ve malokluzyonları etkilemediği, sadece solunum şeklini değiştirdiği fikrine dayanır. Bunun yanında, orofasiyal kaslardaki fonksiyonların normale dönmesi ve herediteyle belirlenmiş olan büyümeye modelinin ideal şartlar altında devamlılığının sağlanması, diğer önemli sonuçlardır. Kanımızca, adenoidektomi operasyonunun gerekliliği, sadece Kulak, Burun ve Boğaz uzmanlarının endikasyonları ile değerlendirilmeli dir.

#### **YARARLANILAN KAYNAKLAR**

- 1- Adamidis JP, Spyropoulos MN The Effects of Lymphadenoid Hypertrophy on the Position of the Hyoid Bone. Eur J Orthod 5: 287-294 1983
- 2- Behlfelt K, Linder-Aronson S, McWilliam J, Neander P and Laage-Hellman J Dentition in Children with Enlarged Tonsils Compared to Control Children. Eur J Orthod 11: 416-429 1989
- 3- Behlfelt K, Linder-Aronson S, Neader P Posture of the Head the Hyoid Bone and the Tongue in Children with and without Enlarged Tonsils. Eur J Orthod 12: 458-467, 1990
- 4- Bluestone CD The Role of Tonsils and Adenoids in the Obstruction of Respiration. in McNamara JA Jr (ed) Monograph No

*Adenoidektomi Operasyonunun Dentofasiyal Yapılar Üzerine Etkisi*

- 9 Craniofacial Growth Series Center for Human Growth and Development. University of Michigan Ann Arbor 251-273, 1979
- 5- Bushey RS, in JA McNamara Jr (editor) Naso-Respiratory Function and Craniofacial Growth. Monograph No 9 Craniofacial Growth Series. Ann Arbor Center for Human Growth and Development the University of Michigan 1979
- 6- Diamond O Tonsils and Adenoids Why the Dilemma? Am J Orthod 78(5): 495-502 1980
- 7- Fields HW, Proffit WR, Nixon WL, Phillips C, Stanek E Facial Pattern Differences in Long-Faced Children and Adults. Am J Orthod 85(3): 217-223 1984
- 8- Güray E, Aytan S Nazal Obstrüksiyonun Belirlenmesinde Röntgenometre ve Planimetre. Hacettepe Dişhekimliği Fakültesi Dergisi 11(1): 25-28 1987
- 9- Gwendolyn FD, Green LJ, Cunat JJ Relationships Between Variation of Mandibular Morphology and Variation of Nasopharyngeal Airway Size in Monozygotic Twins. Angle Orthod 43: 129-135 1973
- 10- Handelman CS, Osborne G Growth of the Nasopharynx and Adenoid Development from One to Eighteen Years. Angle Orthod 46: 243-258 1976
- 11- Harvold EP, Vargevik K, Chierici G Primate Experiments on Oral Sensation and Dental Malocclusions. Am J Orthod 63(1): 494-508 1973
- 12- Hershey HG, Stewart BL, Warren DW Changes in Nasal Airway Resistance Associated with Rapid Maxillary Expansion. Am J Orthod 69(4): 274-284 1976
- 13- Hinton VA, Warren DW, Hairfield WM, Seaton D The Relationship Between Nasal Cross-Sectional Area and Nasal Air Volume in Normal and Nasally Impaired Adults. Am J Orthod 92(4): 294-298 1987
- 14- Holmberg H, Linder-Aronson S Cephalometric Radiographs as a Means of Evaluating the Capacity of the Nasal and Nasopharyngeal Airway. Am J Orthod 76(5): 479-490 1979
- 15- Kerr WS, McWilliam S, Linder-Aronson S Mandibular Form and Position Related to Changed Mode of Breathing-a Five Year Longitudinal Study. Angle Orthod 59: 91-96 1987
- 16- Linder-Aronson S Adenoids Their Effect on Mode of Breathing and Nasal Airflow and their Relationship to Characteristics of the Facial Skeleton and the Dentition. Acta Otolaryngologica Supp 265 1970
- 17- Linder-Aronson S Effects of Adenoidectomy on Dentition and Nasopharynx. Am J Orthod 65(1): 1-15 1974
- 18- Linder-Aronson S Effects of Adenoidectomy on the Dentition and Facial Skeleton Over a Period of Five Years. in Cook JT ed Transactions of the Third International Orthodontic Congress London Crosby Lockwood Staples 85-100 1975
- 19- Linder-Aronson S Respiratory Function in Relation to Facial Morphology and the Dentition. Br J Orthod 6: 59-71 1979
- 20- Linder-Aronson S, Backström A A Comparison Between Mouth and Nose Breathers with Respect to Occlusion and Facial Dimension. Odontol Revy 11: 343-376 1960
- 21- Linder-Aronson S, Woodside DG, Lundström A Mandibular Growth Direction Following Adenoidectomy. Am J Orthod 89(4): 273-284 1986
- 22- McNamara J Influence of Respiratory Pattern on Craniofacial Growth. Angle Orthod 51: 269-300 1981
- 23- O'Ryan F, Gallanger DM, Labanc JP, Epker BN The Relation Between Naso-respiratory Function and Dentofacial Morphology A Review. Am J Orthod 82(5): 403-410 1982
- 24- Paul, JL, Nanda RS Effect of Mouth Breathing on Dental Occlusion. Angle Orthod 43: 201-206 1973
- 25- Pirkko-Lisa T, Koski K Craniofacial Skeleton of 7-Year-Old Children with Enlarged Adenoids. Am J Orthod 91(4): 300-304 1987
- 26- Rakosi T An Atlas and Manual of Cephalometric Radiography. Wolfe Medical Publications LTD Worcester 1982
- 27- Ricketts RM Respiratory Obstruction Syndrome Am J Orthod 54(7): 495-507 1968
- 28- Ricketts RM, Bench RB, Gugino CF, Hilgers JJ, Schulhof RJ Biopressive Therapy. Book 1 Rocky Mountain Orthodontics Denver 1980
- 29- Solow B, Stersbaek-Nielsen S, Greve E Airway Adequacy Head Posture and Craniofacial Morphology. Am J Orthod 86(3): 214-223 1984
- 30- Solow B, Tallgren A Dentoalveolar Morphology in Relation to Craniocervical Posture. Angle Orthod 47: 157-164 1977
- 31- Sosa FA, Gruber TM, Muller TD Postpharyngeal Lymphoid Tissue in Angle Class I and Class II Malocclusions. Am J Orthod 81(4): 299-309 1984
- 32- Subtelny JD The Significance of Adenoid Tissue in Orthodontia. Angle Orthod 24: 59 1954
- 33- Subtelny JD Oral Respiration Facial Maldevelopment and Corrective Dentofacial Orthopedics. Angle Orthod 43: 147-164 1980
- 34- Timms J, Trenouth J A Quantified Comparison of Craniofacial Form with Nasal Respiratory Function. Am J Orthod 94(3): 216-221 1988
- 35- Turvey TA, Hall DJ, Warren DW Alterations in Nasal Airway Resistance Following Superior Repositioning of the Maxilla. Am J Orthod 85: 109-114 1984
- 36- Ung N, Koeing J, Shapiro PA, Shapiro G, Trask G A Quantitative Assessment of Respiratory Patterns and their Effects on Dentofacial Development. Am J Orthod 98(6): 523-532 1990
- 37- Uzel İ, Enacar A Ortodontide Sefalometri. Yargıcıoğlu Matbaası Ankara 1984
- 38- Velicangil S Biyoloji Tip ve Eczacılık Bilimlerinde İstatistik Metodları. Formül Matbaası 2. Baskı İstanbul 1979
- 39- Vig PS, Sarver DM, Hall DJ, Warren DW Quantitative Evaluation of Nasal Airflow in Relation to Facial Morphology. Am J Orthod 79(3): 263-272 1981

Güray, Karaman

40- Watson RM, Warren DW, Fisher ND Nasal Resistance Skeletal Classification and Mouth Breathing in Orthodontic Patients. Am J Orthod 54(5): 367-409 1968

41- Whitaker RHR The Relationship of Nasal Obstruction to Contracted Arches and Dental Irregularities. Dent Rec 31: 425 1911

42- Woodside DG, Linder-Aronson S The Channelization of Upper and Lower Anterior Face Heights Compared to Population Standard in Males Between Ages 6 to 20 Years. Eur J Orthod 1: 25-40 1979

43- Woodside G, Linder-Aronson S, Lundstrom A, McWilliam J Mandibular and Maxillary Growth after Changed Mode of Breathing. Am J Orthod 100(1): 1-18 1991

**YAZIŞMA ADRESİ:**

Dr. Enis GÜRAY  
S.Ü. Dişhek. Fak. Ortodonti A.D  
42079 Kampüs / KONYA